

3. Границей возникновения фазы  $P2_1/c$  на  $P-T$  диаграмме является линия  $abc$ , а границей ее исчезновения — линия  $dflk$ . Между ними заключена область метастабильных состояний, где в зависимости от предыстории образца может сохраняться фаза  $P2_1/c$  либо фазы  $R\bar{3}m$  и  $\bar{3}$ , разграниченные линией  $bf$ .

4. Фаза  $P2_1/c$  может возникать не только вследствие ФП 1-го рода  $R\bar{3}m \rightarrow P2_1/c$  по линии  $ab$ , как отмечалось в п. 1, но и в результате ФП 1-го рода  $\bar{3} \rightarrow P2_1/c$  по линии  $bc$ . Для реализации последнего образец необходимо перевести в состояние  $\bar{3}$  ниже линии  $bc$ , не пересекая границу возникновения фазы  $P2_1/c$ , например, путем изотермического сжатия по линии  $AB$ , изобарического охлаждения по линии  $BC$  и изотермического снижения давления по линии  $CD$ . Дальнейший изобарический отогрев образца, например, по линии  $DF$  приведет к двум ФП:  $\bar{3} \rightarrow P2_1/c \rightarrow R\bar{3}m$  при пересечении линий  $bc$  и  $df$  соответственно. Если охлаждение образца из состояния  $R\bar{3}m$  проводить при фиксированном давлении  $P < P_k$ , то возникшая при пересечении линии  $ab$  фаза  $P2_1/c$  будет сохраняться и при температурах, лежащих ниже линии  $bc$ , а фаза  $\bar{3}$  вообще не реализуется.

В хорошем соответствии с  $P-T$  диаграммой (рис. 1) находятся результаты исследований магнитных свойств ФСК под давлением. Согласно данным [4], при  $P < 30$  МПа ФСК является сверхнизкотемпературным антиферромагнетиком с температурой упорядочения  $\sim 0.17$  К. При давлениях выше 30 МПа происходит смена характера упорядочения на ферромагнитное со скачкообразным понижением температуры до 0.12 К. Такое изменение типа магнитного упорядочения, очевидно, связано с существованием критической величины давления  $P_k$ , ограничивающего возникновение магнитной фазы  $P2_1/c$ . Антиферромагнитное состояние присуще фазе  $P2_1/c$ , а ферромагнитное — фазе  $\bar{3}$ .

В заключение авторы выражают благодарность Л. Ф. Черныш за предоставленные образцы, а В. П. Дьяконову и И. М. Фите — за полезные обсуждения.

#### Список литературы

- [1] Kodera E., Tovii A., Osaki K., Watanabe T. // J. Phys. Soc. Jap. 1972. V. 32. N. 4. P. 863.
- [2] Ray S., Zalkin A., Templeton D. // Acta Cryst. 1973. V. B29. N 7. P. 2741—2747.
- [3] Кабанова Н. Г., Лукин С. Н., Нейло Г. Н., Черныш Л. Ф. // Кристаллография. 1976. Т. 21. № 6. С. 1235—1237.
- [4] Дьяконов В. П., Зубов Э. Е., Фита И. М. // Тез. докл. XXV Всес. совещ. по физике низких температур. Л., 1988. С. 110—111.

Донецкий физико-технический институт  
АН УССР

Поступило в Редакцию  
29 июня 1990 г.

УДК 537.226 : 535.21

© Физика твердого тела, том 33, № 2, 1991  
*Solid State Physics, vol. 33, N 2, 1991*

## ПРЯМОЕ ИЗМЕРЕНИЕ НЕДИАГОНАЛЬНОЙ КОМПОНЕНТЫ ТЕНЗОРА ЛИНЕЙНОГО ФОТОГАЛЬВАНИЧЕСКОГО ЭФФЕКТА В КРИСТАЛЛАХ $\text{LiNbO}_3 : \text{Fe}$

С. И. Карабекян

В кристаллах без центра инверсии при однородном освещении в режиме коротковременных электродов появляется стационарный ток. Согласно феноменологической теории [1], выражение для плотности фотовольтаического (ФВ) тока имеет следующий вид:

$$j_i = \beta_{int}^s E_n E_i + i \beta_{il}^{as} [E E^*]_i,$$

где  $E_n, E_i$  — компоненты электрического поля световой волны;  $\beta_{int}^s, \beta_{il}^{as}$  — компоненты соответственно симметричного тензора третьего ранга и псевдотензора второго ранга.

Для кристаллов класса  $3m$ , к которым относится и  $\text{LiNbO}_3 : \text{Fe}$ , существуют четыре независимые компоненты тензора линейного фотогальванического эффекта (ФГЭ)  $\beta_{33}, \beta_{31}, \beta_{22}, \beta_{15}^s$ . Три из них  $\beta_{33}, \beta_{31}, \beta_{22}$  были ранее измерены в работах [2, 3]. Четвертая компонента  $\beta_{15}^s$ , связанная с пространственно-осциллирующими токами, была оценена при помощи голографической методики [4].

В данной работе впервые проведены измерения недиагональной компоненты

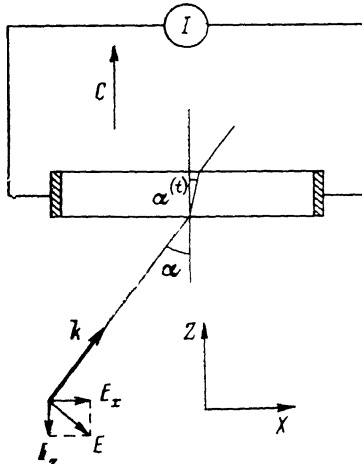


Рис. 1. Схема измерения ФВ тока, определяемого компонентой тензора  $\beta_{15}^s$ .

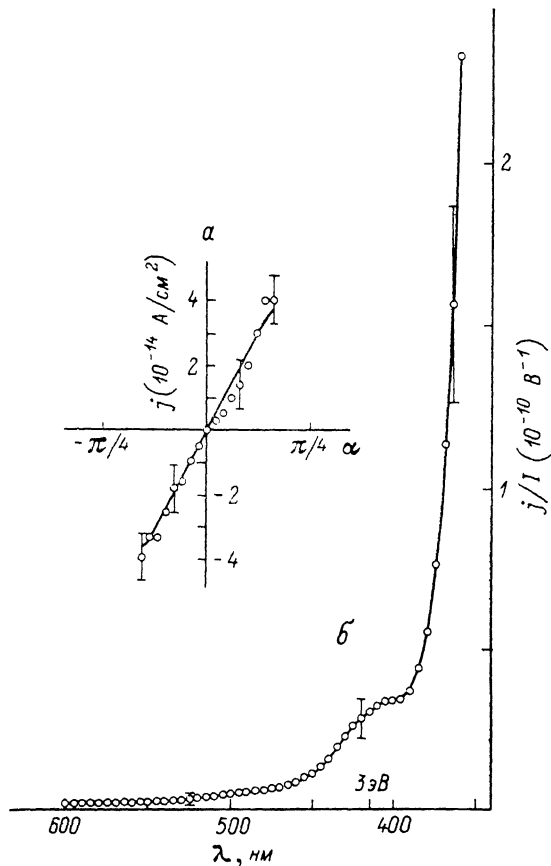


Рис. 2. Угловая зависимость плотности ФВ тока  $j_x, \lambda=470$  нм (а) и спектральная зависимость компоненты тензора  $\beta_{15}^s$  для  $\text{LiNbO}_3 : \text{Fe}$  (б).

тензора ФГЭ  $\beta_{15}^s$  в кристаллах  $\text{LiNbO}_3 : \text{Fe}$ . Был использован метод, ранее примененный для аналогичных измерений в кристаллах  $\text{LiTaO}_3 : \text{Cu}$  [5]. Суть метода заключается в следующем: если на грань  $XOY$  кристалла направить свет под углом, лежащим в плоскости  $XOZ$ , поляризованный в той же плоскости (рис. 1), то в этом случае в кристалле будет распространяться только необыкновенная волна. Следовательно, линейный ФВ ток, определяемый компонентой  $\beta_{15}^s$ , уже не будет пространственно-осциллирующим. А величина фототока для данной геометрии будет определяться следующим выражением:

$$j_x = \beta_{15}^s I^{(t)} \sin 2\alpha^{(t)}, \quad (1)$$

где  $I^{(t)}$  — интенсивность прошедшего света,  $\alpha^{(t)}$  — угол между направлением распространения прошедшего луча и нормалью к грани  $XOY$ . Интенсивность прошедшего света равна  $I^{(t)} = I (1 - R_{||})$ , где  $R_{||} = \tan^2(\alpha - \alpha^{(t)}) / \tan^2(\alpha + \alpha^{(t)})$  — отражательная способность кристалла,  $I$  — интенсивность падающего света,  $\alpha^{(t)} = \arcsin((\sin \alpha) / n_s)$ , где  $\alpha$  — угол между падающим лучом и нормалью к грани  $XOY$ .

Экспериментальные исследования проводились на образцах кристаллов  $\text{LiNbO}_3 : \text{Fe}$  (0.03 вес. %), имевших форму параллелепипеда с размерами  $X : Y : Z = 4.2 : 5.2 : 1.7$  мм<sup>3</sup>. Схема экспериментальной установки была аналогична приведенной в [3]. В качестве источника света использовалась ксеноновая лампа ДКсЭл-1000. Свет монохроматизировался с помощью спектрофотометра СФ-26. Контакты изготавливались методом вакуумного напыления серебра. Образец закреплялся на измерительной головке, которая с помощью дистанционного управления могла независимо вращаться как в плоскости  $XOZ$ , так и в плоскости  $XOY$  (рис. 1). Головка с образцом помещалась в экранированную и термоизолированную кювету. Для измерения угловой зависимости плотности ФВ тока  $j_x$ , определяемого компонентой  $\beta_{15}^x$ , головка с образцом вращалась в плоскости  $XOZ$ . При измерении спектральной зависимости  $\beta_{15}^x$  для каждой точки спектра проводилось измерение угловой зависимости  $j_x$  (рис. 2, а), по наклону которой определялось значение  $\beta_{15}^x$  в соответствии с формулой (1). Все результаты корректировались с учетом поглощения и неоднородности освещения кристалла по методике [3]. ФВ ток измерялся электрометром В7-30. Измерения компонент тензора  $\beta_{33}$ ,  $\beta_{31}$ ,  $\beta_{22}$  и их спектральных зависимостей совпадали с известными данными [2, 3]. На рис. 2, б приведена спектральная зависимость одной компоненты  $\beta_{15}^x$  для  $\text{LiNbO}_3 : \text{Fe}$  (0.03 вес %). Поведение остальных компонент подобно.

Сопоставляя полученные результаты, можно заметить, что спектр  $\beta_{15}^x$  коррелирует со спектрами  $\beta_{33}$ ,  $\beta_{31}$  и  $\beta_{22}$ . Все они растут с увеличением энергии фотонов облучающего пучка, а при энергиях больше 3 эВ для всех кривых наблюдается излом. Во всех спектрах характерно также наличие небольшого плеча в диапазоне от 2.8 до 3.2 эВ.

Исходя из вышеизложенного, можно сделать предположение, что природа центров, определяющих фотогальванические токи, связанные со всеми четырьмя компонентами, одна и та же. По результатам измерений в промежутке энергий от 2.4 до 2.6 эВ для  $\text{LiNbO}_3 : \text{Fe}$  (0.03 вес %) отношения компонент  $\beta_{31}$ ,  $\beta_{22}$  и  $\beta_{15}^x$  к максимальной в этом диапазоне компоненте  $\beta_{33}$  имеют следующие значения:  $\beta_{22}/\beta_{33} = (5.0 \pm 0.9) \cdot 10^{-2}$ ,  $\beta_{15}^x/\beta_{33} = (2.00 \pm 0.15) \times 10^{-2}$ ,  $\beta_{31}/\beta_{33} = 0.90 \pm 0.03$ .

В заключение автор выражает признательность С. Г. Одулову за стимулирующую беседу, а также за обсуждение полученных результатов.

#### Список литературы

- [1] Белиничер В. И., Стурман Б. И. // УФН. 1980. Т. 130. № 3. С. 415—458.
- [2] Фридкин В. М., Магомадов Р. М. // Письма в ЖЭТФ. 1979. Т. 30. № 11. С. 723—726.
- [3] Festl H. G., Hertel P., Kratzig E., von Baltz R. /| Phys. St. Sol. B. 1982. V. 113. N 1. P. 157—164.
- [4] Odoulov S. // Ferroelectrics. 1989. V. 91. N 1. P. 213—225.
- [5] Авакян Э. М., Белобаев К. Г., Киселева И. Н., Одулов С. Г., Ренкачишская Е. И. // УФЖ. 1984. Т. 29. № 5. С. 790—793.

Ереванский физический институт

Поступило в Редакцию  
10 июля 1990 г.